

# Equazioni fondamentali (nel dominio dei tempi)

Equazioni di Maxwell:

$$\left\{ \begin{array}{l} \nabla \times \mathbf{e} = -\frac{\partial \mathbf{b}}{\partial t} \\ \nabla \times \mathbf{h} = \mathbf{j} + \frac{\partial \mathbf{d}}{\partial t} \\ \nabla \cdot \mathbf{d} = \rho \\ \nabla \cdot \mathbf{b} = 0 \end{array} \right.$$

$$\mathbf{j} = \mathbf{j}_c + \mathbf{j}_i$$

Eq. di continuità:

$$\nabla \cdot \mathbf{j} + \frac{\partial \rho}{\partial t} = 0$$

Legge del trasporto:

$$\mathbf{j}_c = \sigma \mathbf{e}$$

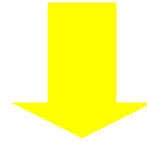
Relazioni costitutive del mezzo:

$$\left\{ \begin{array}{l} \mathbf{d} = \varepsilon \mathbf{e} \\ \mathbf{b} = \mu \mathbf{h} \end{array} \right.$$



# Caso stazionario (1)

Nel caso **stazionario** le grandezze E.M. **non dipendono dal tempo**



si annullano le derivate temporali nelle equazioni fondamentali

$$\left\{ \begin{array}{l} \nabla \times \mathbf{E} = 0 \\ \nabla \times \mathbf{H} = \mathbf{J} \\ \nabla \cdot \mathbf{D} = \rho \\ \nabla \cdot \mathbf{B} = 0 \end{array} \right. \quad \nabla \cdot \mathbf{J} = 0$$



## Caso stazionario (2)

Dunque, nel caso stazionario la prima equazione di Maxwell in forma differenziale diventa:

$$\nabla \times \mathbf{E} = 0$$

Oppure, considerando la corrispondente equazione in forma integrale, si ha:

$$\oint \mathbf{E} \cdot d\vec{\ell} = 0$$

$\mathbf{E}$  è un campo vettoriale **conservativo**, e può essere espresso come gradiente di un opportuno campo scalare  $\phi$ :

$$\mathbf{E} = -\nabla\Phi$$

$\Phi$  *Potenziale scalare elettrico*



# Caso stazionario (3)

- La ragione del segno – davanti al gradiente è di carattere storico (è una convenzione adottata in elettromagnetismo sul segno della differenza di potenziale fra 2 punti).

Dati 2 punti P e Q dello spazio, si definisce **tensione** fra i punti P e Q la grandezza:

$$\int_Q^P \mathbf{E} \cdot d\vec{\ell} = [\Phi(Q) - \Phi(P)] \stackrel{\Delta}{=} V_{QP} = -V_{PQ}$$

La tensione **dipende solo dai punti P e Q** e non dal percorso sul quale viene calcolato l'integrale, essendo **E** conservativo.



# Caso stazionario (4)

Si ricordi inoltre che  $\phi$  è definito a meno di una costante additiva arbitraria.

Per convenzione, tale arbitrarietà viene eliminata imponendo che il potenziale sia nullo quando la distanza dalle sorgenti del campo tende all'infinito. Si ha quindi:

$$\Phi(P) = \int_P^{\infty} \mathbf{E} \cdot d\vec{\ell} \quad \text{avendo assunto } \Phi(\infty) = 0$$



## Caso stazionario (5)

L'equazione di divergenza relativa all'induzione magnetica è:

$$\nabla \cdot \mathbf{B} = 0$$

$\mathbf{B}$  è quindi un campo *solenoidale* e si può supporre che sia esprimibile tramite il rotazionale di un opportuno vettore  $\mathbf{A}$ :

$$\mathbf{B} = \nabla \times \mathbf{A}$$

$\mathbf{A}$  è detto *potenziale vettore magnetico*, per analogia col potenziale elettrico  $\phi$ .

- Si osservi anche che  $\mathbf{A}$  è definito *a meno del gradiente di un campo scalare arbitrario*. Tale arbitrarietà viene risolta tramite un'opportuna "*scelta*".



# Caso stazionario (6)

Concludendo, nel caso stazionario, il campo E.M. è completamente caratterizzato una volta che siano noti i potenziali  $\mathbf{A}$  e  $\phi$ .

- L'uso dei potenziali in luogo dei campi  $\mathbf{E}$  ed  $\mathbf{H}$  è in generale molto vantaggioso. In particolare,  $\phi$  ha il vantaggio di essere un campo scalare.

Caso stazionario: schema riassuntivo

$\mathbf{E}$	CONSERVATIVO	$\oint \mathbf{E} \cdot d\vec{\ell} = 0$	$\nabla \times \mathbf{E} = 0$	$\mathbf{E} = -\nabla\Phi$
$\mathbf{B}$	SOLENOIDALE	$\oiint \mathbf{B} \cdot \hat{\mathbf{i}}_n dS = 0$	$\nabla \cdot \mathbf{B} = 0$	$\mathbf{B} = \nabla \times \mathbf{A}$



# Caso stazionario (7)

- Nel caso stazionario si possono avere 3 situazioni distinte:
- (a) Il campo magnetico è nullo e il campo elettrico è diverso da 0
  - (b) Il campo elettrico è nullo e il campo magnetico è diverso da 0
  - (c) Il campo elettrico e il campo magnetico sono entrambi non nulli.

Nel caso (a) si parla di **modello dell'elettrostatica**. In tale modello, le equazioni fondamentali si particularizzano nelle equazioni seguenti:

$$\nabla \cdot \mathbf{D} = \rho$$

$$\nabla \times \mathbf{E} = 0$$

In questo modello le uniche sorgenti “fisiche” del campo sono le cariche ferme (distribuzione statica di carica  $\rho$ )

$$\mathbf{D} = \varepsilon \mathbf{E}$$



# Caso stazionario (8)

La prima equazione del modello (a) consente di esprimere  $\mathbf{E}$  come gradiente del potenziale scalare elettrostatico  $\phi$ :

$$\mathbf{E} = -\nabla \phi$$

Sostituendo tale espressione nella seconda equazione del modello si ottiene:

$$\nabla \cdot \mathbf{D} = \nabla \cdot (\varepsilon \mathbf{E}) = \nabla \cdot [\varepsilon (-\nabla \phi)] = \rho$$

$$\Rightarrow -\nabla \varepsilon \cdot \nabla \phi - \varepsilon \nabla^2 \phi = \rho$$

$$\Rightarrow \nabla^2 \phi + \frac{1}{\varepsilon} \nabla \varepsilon \cdot \nabla \phi = -\frac{\rho}{\varepsilon}$$

Se il mezzo è omogeneo,  $\nabla \varepsilon = 0$  e si ha:

$$\nabla^2 \phi = -\frac{\rho}{\varepsilon}$$

Equazione di Poisson scalare



# Caso stazionario (9)

Nel caso (b) si parla di **modello della magnetostatica**. In tale modello, le equazioni fondamentali si particularizzano nelle equazioni seguenti:

$$\nabla \cdot \mathbf{B} = 0$$

$$\nabla \times \mathbf{H} = \mathbf{J}_i$$

In questo modello, le sorgenti “fisiche” del campo E.M. sono le correnti impresse, costanti nel tempo (distribuzione statica di corrente  $\mathbf{J}_i$ )

$$\mathbf{B} = \mu \mathbf{H}$$

Si può dimostrare che dalle equazioni precedenti si ottiene la seguente **equazione di Poisson vettoriale**, che è l'equazione fondamentale della magnetostatica

$$\nabla^2 \mathbf{A} = -\mu \mathbf{J}_i$$



# Caso stazionario (10)

Nel caso (c) si parla di **modello della conduzione stazionaria** o del **campo stazionario di corrente**. In tale modello, le equazioni fondamentali si particolarizzano nelle equazioni seguenti:

$$\nabla \times \mathbf{E} = 0$$

$$\nabla \times \mathbf{H} = \mathbf{J}_c + \mathbf{J}_i$$

$$\nabla \cdot (\mathbf{J}_c + \mathbf{J}_i) = 0$$

In questo modello le sorgenti “fisiche” sono sia le correnti impresse che le correnti di conduzione, entrambe costanti nel tempo.

$$\mathbf{J}_c = \sigma \mathbf{E}$$



# Caso stazionario (11)

In modo analogo a quanto fatto nei casi elettrostatico e magnetostatico, si dimostra che le equazioni fondamentali della conduzione stazionaria sono le 2 equazioni di Poisson (scalare e vettoriale):

$$\begin{cases} \nabla^2 \mathbf{A} = -\mu \mathbf{J}_i \\ \nabla^2 \phi = -\frac{\rho}{\varepsilon} \end{cases}$$

Dal punto di vista matematico, **gli unici termini noti del problema differenziale sono le correnti impresse  $\mathbf{J}_i$** , mentre le  $\mathbf{J}_c$  e la densità di carica sono incognite. Infatti, note le  $\mathbf{J}_i$ , risolvendo la prima equazione si determina  $\mathbf{A}$  e quindi  $\mathbf{H}$ . Poi, dalla equazione  $\nabla \times \mathbf{H} = \mathbf{J}_c + \mathbf{J}_i$  si ricavano le correnti  $\mathbf{J}_c$  e quindi il campo  $\mathbf{E}$  (o in alternativa, il potenziale  $\phi$ ). Infine, la  $\rho$  si determina utilizzando la legge di Gauss per il campo elettrico, oppure tramite l'equazione di Poisson scalare nel potenziale  $\phi$ .



# Circuiti - Caso stazionario

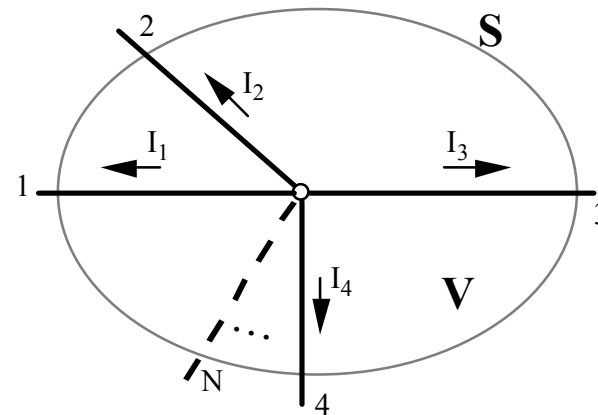
## Prima legge di Kirchhoff

Nel caso stazionario l'equazione di continuità si può scrivere:

$$\nabla \cdot \mathbf{J} = 0$$

e integrando ambo i membri sul volume  $V$ , delimitato dalla superficie chiusa  $S$ , mediante il teorema di Gauss si ottiene:

$$\oint_S \mathbf{J} \cdot \hat{\mathbf{i}}_n dS = \sum_i I_i = 0$$



La relazione trovata esprime la **prima legge di Kirchhoff** ossia “*la somma algebrica delle correnti che escono da un nodo è nulla*”.



# Circuiti - Caso stazionario (2)

- Dall'equazione di conservazione della carica, si evince che in condizioni stazionarie, essendo nullo il flusso di  $\mathbf{J}$  attraverso la superficie  $S$ , **non può esserci accumulo di carica nel volume  $V$ .**

## Seconda legge di Kirchhoff

La prima equazione di Maxwell assume la forma:

$$\nabla \times \mathbf{E} = 0$$

Il campo elettrico è conservativo e quindi può essere espresso come:

$$\mathbf{E} = -\nabla\Phi$$

Si consideri una linea chiusa costituita da un certo numero di segmenti rettilinei (“**rami**”), corrispondenti a fili di materiale perfettamente conduttore percorsi da corrente. Nel linguaggio circuitale, una linea di tale tipo è denominata “**maglia**”.



# Circuiti - Caso stazionario (3)

Calcolando l'integrale di circuitazione di ambo i membri dell'equazione precedente lungo tale linea, si ottiene, per le proprietà del potenziale scalare elettrico  $\phi$ :

$$\oint_{\ell} \mathbf{E} \cdot \hat{\mathbf{i}}_{\ell} d\ell = \sum_i V_i = 0$$

essendo  $V_i = \phi_{Ai} - \phi_{Bi}$  la tensione lungo l'i-esimo ramo della maglia.

La relazione trovata esprime la **seconda legge di Kirchhoff** ossia *“la somma algebrica delle cadute di tensione lungo una maglia è nulla”*.

- In regime stazionario la caduta di potenziale  $V$  può essere attribuita esclusivamente alla presenza di un campo elettrico  $\mathbf{E}$  non nullo. Inoltre, dalla prima equazione di Maxwell si evince che la variazione temporale del flusso del vettore induzione magnetica  $\mathbf{B}$  è nulla e quindi non può aver luogo alcun fenomeno di immagazzinamento o dissipazione di energia.



# Caso non stazionario (1)

Anche nel caso non stazionario sarebbe utile continuare ad avere dei potenziali che, opportunamente derivate, forniscano i campi. Per quanto riguarda il campo magnetico, continua a valere l'equazione:

$$\nabla \cdot \mathbf{b} = 0$$

Si può quindi scrivere ancora:

$$\mathbf{b} = \nabla \times \mathbf{a} \quad \mathbf{a} \text{ potenziale vettore magnetico}$$

Il campo elettrico, invece, non è più irrotazionale, essendo:

$$\nabla \times \mathbf{e} = -\frac{\partial \mathbf{b}}{\partial t}$$

Tuttavia si può sostituire la precedente equazione nella prima equazione di Maxwell, e si ottiene:



## Caso non stazionario (2)

$$\nabla \times \mathbf{e} = -\frac{\partial}{\partial t} (\nabla \times \mathbf{a}) = -\nabla \times \left( \frac{\partial \mathbf{a}}{\partial t} \right)$$

e quindi:

$$\nabla \times \left( \mathbf{e} + \frac{\partial \mathbf{a}}{\partial t} \right) = 0$$

Essendo il vettore  $\mathbf{e} + \frac{\partial \mathbf{a}}{\partial t}$  irrotazionale, si può scrivere:

$$\mathbf{e} + \frac{\partial \mathbf{a}}{\partial t} = -\nabla \phi$$

$\phi$  è detto ancora **potenziale scalare elettrico**, ma è una quantità in generale diversa dal potenziale nel caso stazionario!

Riassumendo, nel caso non stazionario valgono le seguenti equazioni:

$$\begin{cases} \mathbf{e} = -\nabla \Phi - \frac{\partial \mathbf{a}}{\partial t} & (*) \\ \mathbf{b} = \nabla \times \mathbf{a} \end{cases}$$



# Caso non stazionario (3)

Dalle equazioni (\*) si deduce quindi che, nel caso non stazionario, il campo E.M. è completamente determinato una volta che siano noti i potenziali vettore e scalare  $\mathbf{a}$  e  $\phi$ .

Si noti anche che nel caso stazionario non ha senso definire la tensione fra 2 punti, infatti:

$$\int_Q^P \mathbf{e} \cdot d\vec{\ell} = \int_Q^P \left( -\nabla\Phi - \frac{\partial \mathbf{a}}{\partial t} \right) \cdot d\vec{\ell} = \Phi(Q) - \Phi(P) - \frac{\partial}{\partial t} \int_Q^P \mathbf{a} \cdot d\vec{\ell}$$

Compare cioè, oltre alla differenza di potenziale, un termine addizionale che in generale dipende dal cammino scelto per effettuare l'integrale tra Q e P (infatti, il vettore  $\mathbf{a}$  per definizione non è conservativo, essendo  $\nabla \times \mathbf{a} = \mathbf{b} \neq 0$ ).



# Caso non stazionario (4)

Le equazioni fondamentali dell'elettrodinamica non stazionaria sono le seguenti:

$$\begin{cases} \nabla^2 \mathbf{a} - \mu\varepsilon \frac{\partial^2 \mathbf{a}}{\partial t^2} - \mu\sigma \frac{\partial \mathbf{a}}{\partial t} = -\mu \mathbf{j}_i \\ \nabla^2 \phi - \mu\varepsilon \frac{\partial^2 \phi}{\partial t^2} - \mu\sigma \frac{\partial \phi}{\partial t} = -\frac{\rho}{\varepsilon} \end{cases} \quad (**)$$

Tali equazioni si ottengono dalle equazioni di Maxwell, esprimendo i campi tramite i rispettivi potenziali, ed infine imponendo la **condizione di Lorentz** nel dominio dei tempi:

$$\nabla \cdot \mathbf{a} = -\mu\varepsilon \frac{\partial \phi}{\partial t} - \mu\sigma \phi$$

Si osservi che nel caso di mezzo privo di perdite ( $\sigma = 0$ ) le equazioni scritte sopra diventano le ben note equazioni di D'Alembert (vettoriale e scalare) non omogenee.



# Caso non stazionario (5)

- La risoluzione del sistema differenziale (\*\*\*) è in generale molto difficoltosa per un regime temporale generico (si tratta infatti di un sistema di equazioni alle derivate parziali sia nelle variabili spaziali che nella variabile temporale)
- Se però si considerano campi in **regime sinusoidale** e si passa alla rappresentazione mediante campi complessi rappresentativi (**fasori**), la soluzione di tali equazioni si semplifica notevolmente. Si ottengono infatti 2 equazioni disaccoppiate [**eq. di Helmholtz non omogenee**] nel potenziale vettore magnetico e nel potenziale scalare elettrico, rispettivamente:

$$\begin{cases} \nabla^2 \mathbf{A} + \omega^2 \mu \epsilon_c \mathbf{A} = -\mu \mathbf{J}_i \\ \nabla^2 \phi + \omega^2 \mu \epsilon_c \phi = -\frac{\rho}{\epsilon} \end{cases} \quad (***)$$

Deve valere inoltre la **condizione di Lorentz**:

$$\nabla \cdot \mathbf{A} = -j\omega\mu\epsilon_c\phi$$



# Caso non stazionario (6)

- Ad esempio, per ricavare la seconda equazione delle (\*\*\*) , è sufficiente sostituire  $\mathbf{H} = (1/\mu)\nabla \times \mathbf{A}$  nella seconda eq. di Maxwell e si ottiene:

$$\nabla \times (\mathbf{E} + j\omega\mathbf{A}) = 0 \quad \Rightarrow \quad \mathbf{E} + j\omega\mathbf{A} = -\nabla\phi$$

- Ricordando poi l'equazione di divergenza del campo elettrico  $\nabla \cdot \mathbf{E} = \frac{\rho}{\varepsilon}$  e combinandola con l'equazione precedente si ha:

$$\nabla \cdot \mathbf{E} = -\nabla \cdot \nabla\phi - j\omega\nabla \cdot \mathbf{A} = -\nabla^2\phi - \omega^2\mu\varepsilon_C = \frac{\rho}{\varepsilon}$$

dove, ancora una volta, si è fatto uso della condizione di Lorentz. Per la risoluzione del sistema differenziale (\*\*\*) , la conoscenza del termine  $\rho/\varepsilon$  non è necessaria, in quanto esso può essere espresso a sua volta in funzione delle correnti impresse:

$$\frac{\rho}{\varepsilon} = -\frac{\nabla \cdot \mathbf{J}_i}{j\omega\varepsilon_C}$$

Di fatto, la scelta di Lorentz rende le 2 equazioni (\*\*\*) (e quindi anche i potenziali  $\mathbf{A}$  e  $\phi$ ) fra loro **dipendenti**.



# Caso non stazionario (7)

- Infatti, una volta determinato  $\mathbf{A}$  risolvendo la prima delle (\*\*\*) con il metodo della funzione di Green, il potenziale scalare si può ricavare dalla eq.:

$$\phi = -\frac{\nabla \cdot \mathbf{A}}{j\omega\epsilon_c}$$

- Una proprietà concettualmente rilevante dei potenziali scelte di Lorentz è che essi possono considerarsi come la naturale estensione al caso dinamico dei corrispondenti potenziali statici. Si abbia infatti una distribuzione di corrente stazionaria  $\mathbf{J}_{i0}$  e una distribuzione statica di carica  $\rho_0$ , e siano  $\mathbf{A}_0$ ,  $\phi_0$  il potenziale vettore magnetostatico e il potenziale scalare elettrostatico che tali distribuzioni sostengono. Come noto,  $\mathbf{A}_0$  e  $\phi_0$  soddisfano le equazioni di Poisson:

$$\begin{cases} \nabla^2 \mathbf{A}_0 = -\mu \mathbf{J}_{i0} \\ \nabla^2 \phi_0 = -\frac{\rho_0}{\epsilon} \end{cases} \quad (***)$$

E' immediato riconoscere che le (\*\*\*\*) rappresentano il limite delle eq. di Helmholtz (\*\*\*) per  $\omega \rightarrow 0$ !



# Circuiti - Caso non stazionario

## Circuiti in regime non stazionario

Nel caso stazionario non è di norma lecito trascurare le derivate temporali delle grandezze elettromagnetiche pertanto risultano verificate le seguenti relazioni:

$$\nabla \cdot \mathbf{j} = -\frac{\partial \rho}{\partial t} = -\varepsilon \frac{\partial \mathbf{e}}{\partial t} \neq 0$$

$$\nabla \times \mathbf{e} = -\frac{\partial \mathbf{b}}{\partial t} \neq 0$$

dalle quali si deduce *che nel caso non stazionario non valgono le leggi di Kirchhoff.*



# L'approssimazione quasi-stazionaria (1)

- Si parla di campi *quasi stazionari* per indicare campi che non sono strettamente stazionari, ma per i quali le variazioni nel tempo non giocano un ruolo primario (campi lentamente variabili).
- L'approssimazione quasi-stazionaria consiste nel trascurare, se sono verificate alcune condizioni ben precise, alcune delle derivate temporali che compaiono nelle equazioni fondamentali.

✦ Non si trascura la dipendenza dal tempo !!!



La possibilità di trascurare le variazioni temporali di alcune grandezze dipende dal regime temporale che si instaura nel sistema in oggetto.

- Il regime temporale del sistema dipende a sua volta dalle cause che originano i campi, cioè dalle sorgenti fisiche (correnti e cariche)



# L'approssimazione quasi-stazionaria (2)

Che cosa significa trascurare le variazioni temporali delle grandezze E.M. ?

➡ Significa trascurare gli effetti della propagazione dei campi E.M. all'interno del sistema, cioè **trascurare il ritardo di propagazione**.

In altri termini, ciò equivale a supporre che *gli effetti delle variazioni temporali delle forze impresse si manifestino istantaneamente in tutti i punti del sistema (successione di stati quasi-stazionari)*.

➤ E' ovvio che, per trascurare il tempo di ritardo, il sistema che si sta considerando deve essere **geometricamente limitato** (diversamente non sarebbe possibile individuare un valore massimo per il tempo di ritardo).



# L'approssimazione quasi-stazionaria (3)

Data una coppia di punti  $P$  e  $P_0$  appartenenti al sistema che si sta considerando, si ponga

$$r_{\max} = \max(|P - P_0|)$$

$$t_{\max} = \frac{r_{\max}}{c}$$

dove  $c$  indica la velocità della luce nel vuoto.

Se le relazioni di trascurabilità, che di seguito verranno esplicitate, sono verificate per distanze pari a  $r_{\max}$ , a maggior ragione lo saranno per ogni altro valore della distanza  $r$ .

Trascurare il tempo di ritardo significa, come detto, supporre che le *cause* che originano il campo non varino nell'intervallo temporale in esame, cioè:

$$(a) \quad \rho(P, t - t_{\max}) \approx \rho(P, t) \quad \Rightarrow \quad |\rho(P, t - t_{\max}) - \rho(P, t)| \ll |\rho(P, t)|$$

$$(b) \quad \mathbf{j}_i(P, t - t_{\max}) \approx \mathbf{j}_i(P, t) \quad \Rightarrow \quad |\mathbf{j}_i(P, t - t_{\max}) - \mathbf{j}_i(P, t)| \ll |j_i(P, t)|$$



# L'approssimazione quasi-stazionaria (4)

Considerando ad esempio la distribuzione delle cariche  $\rho(P,t)$ , mediante sviluppo in serie è possibile riscrivere la relazione (a) nella forma:

$$(a') \quad \left| \frac{\partial \rho(P,t)}{\partial t} \frac{r_{\max}}{c} \right| \ll |\rho(P,t)|$$

Se si considera come caso di maggior interesse quello di un *regime sinusoidale di pulsazione*  $\omega$  si può scrivere:

$$\begin{aligned} \rho(P,t) &= \rho(P) \cos(\omega t + \varphi) \\ \frac{\partial \rho(P,t)}{\partial t} &= -\omega \rho(P) \sin(\omega t + \varphi) \end{aligned}$$

e la (a') risulta verificata ogni qual volta risulta:

$$\frac{\omega r_{\max}}{c} \ll 1 \quad \Rightarrow \quad \frac{2\pi f}{c} r_{\max} \ll 1 \quad \Rightarrow \quad \lambda r_{\max} \ll 1$$

Lo stesso procedimento si può seguire per la grandezza vettoriale  $\mathbf{J}_i$  arrivando alle stesse conclusioni.



# L'approssimazione quasi-stazionaria (5)

E' stata così individuata una **condizione sufficiente per l'approssimazione di quasi stazionarietà** che spesso viene espressa anche nella forma:

$$r_{\max} \ll \lambda$$

Quindi nella pratica, affinché nel regime sinusoidale sia verificata l'ipotesi di quasi stazionarietà, **le dimensioni del sistema elettromagnetico in esame devono essere trascurabili rispetto alla lunghezza d'onda del campo che si propaga.**



# L'approssimazione quasi-stazionaria (6)

Come conseguenza dell'ipotesi di quasi stazionarietà si ha che per ogni coppia di punti  $P$  e  $P_0$  del sistema, risultano vere le relazioni:

$$(a) \quad \frac{2\pi}{\lambda} |P - P_0| \ll 2\pi$$

Lo sfasamento che il campo sinusoidale subisce propagandosi da un punto all'altro del sistema è trascurabile.

$$(b) \quad \frac{|P - P_0|}{c} \ll T \quad (T=1/f \text{ periodo del campo sinusoidale})$$

Il tempo di propagazione del campo tra due punti qualsiasi del sistema è trascurabile rispetto al periodo, cioè la propagazione nell'ambito del sistema si può ritenere a tutti gli effetti istantanea.

$$(c) \quad f \ll \frac{c}{|P - P_0|}$$

La frequenza di propagazione è molto bassa rispetto all'inverso del tempo di propagazione tra due punti del circuito.



# Modelli quasi-stazionari (1)

I sistemi quasi-stazionari sono caratterizzati dalla possibilità di **trascurare** alcune delle variazioni temporali delle grandezze E.M. di interesse. Nella pratica, in un sistema quasi-stazionario si possono distinguere 3 diverse regioni di funzionamento:

- ❑ Regioni in cui si trascurano le variazioni del campo **e**, ma non quelle del campo **b**. In questo caso si parla di **modello quasi-stazionario magnetico**.
- ❑ Regioni in cui si trascurano le variazioni del campo **b**, ma non quelle del campo **e**. In questo caso si parla di **modello quasi-stazionario elettrico**.
- ❑ Regioni in cui si trascurano sia le variazioni sia del campo **e** che del campo **b**. In questo caso, fissato un istante di tempo  $t_0$ , il sistema si comporta in modo analogo a un sistema stazionario, e perciò si applica il **modello del campo stazionario di corrente** già visto in precedenza.



# Modelli quasi-stazionari (2)

## Modello quasi-stazionario magnetico

In tale modello, si assume di trascurare la derivata temporale del vettore induzione elettrica che compare nella seconda equazione di Maxwell:

$$\nabla \times \mathbf{h} = \frac{\partial \mathbf{d}}{\partial t} + \mathbf{j}$$

La relazione di trascurabilità che deve essere soddisfatta perché tale modello sia valido è quindi:

$$\left| \frac{\partial \mathbf{d}}{\partial t} \right| \ll |\mathbf{j}|$$

perciò risulta:

$$\nabla \times \mathbf{h} \cong \mathbf{j}$$



# Modelli quasi-stazionari (3)

In sintesi, le equazioni del modello quasi-stazionario magnetico sono le seguenti:

$$\nabla \times \mathbf{h} = \mathbf{j}(P,t)$$

$$\nabla \cdot \mathbf{j} = 0$$

$$\nabla \cdot \mathbf{b} = 0$$

$$\mathbf{b} = \mu \mathbf{h}$$

$$\nabla \times \mathbf{e} = -\frac{\partial \mathbf{b}}{\partial t}$$

In tale modello, la legge per la circuitazione di  $\mathbf{e}$  è esatta, mentre le equazioni del campo di corrente e del campo magnetico  $\mathbf{h}$  sono quelle del limite stazionario.

Tale approssimazione è tanto migliore quanto più lente sono le variazioni dei campi elettrici e delle cariche.

Le regioni del sistema che sono rappresentate dal modello quasi-stazionario magnetico sono, evidentemente, **le regioni induttive.**



# Modelli quasi-stazionari (4)

## Modello quasi-stazionario elettrico

In tale modello, si assume di trascurare la derivata temporale del vettore induzione magnetica che compare nella prima equazione di Maxwell:

$$\nabla \times \mathbf{e} = -\frac{\partial \mathbf{b}}{\partial t}$$

Per ricavare la condizione di trascurabilità, il procedimento è leggermente più laborioso che nel caso precedente, poiché nell'equazione precedente compare un solo termine a secondo membro.

Conviene allora esprimere  $\mathbf{b}$  tramite il potenziale vettore magnetico  $\mathbf{a}$  ad esso associato:

$$\mathbf{b} = \nabla \times \mathbf{a}$$



# Modelli quasi-stazionari (5)

E' già stato ricavato che il vettore campo elettrico può essere scritto in funzione dei potenziali scalare e vettore come:

$$\mathbf{e} = -\nabla\Phi - \frac{\partial\mathbf{a}}{\partial t}$$

pertanto il campo elettrico non dipende dalle variazioni del campo magnetico quando risulta valida la relazione:

$$\left| \frac{\partial\mathbf{a}}{\partial t} \right| \ll |\nabla\Phi|$$

e ciò vuol dire che vale

$$\mathbf{e} \cong -\nabla\Phi$$

$$\nabla \times \mathbf{e} \cong 0$$



# Modelli quasi-stazionari (6)

In sintesi, le equazioni del modello quasi-stazionario elettrico sono le seguenti:

$$\nabla \times \mathbf{e} = 0$$

$$\nabla \cdot \mathbf{d} = \rho(\mathbf{P}, t)$$

$$\mathbf{d} = \varepsilon \mathbf{e}$$

$$\nabla \cdot \mathbf{j} = -\frac{\partial \rho}{\partial t}$$

$$\nabla \times \mathbf{h} = \mathbf{j} + \frac{\partial \mathbf{d}}{\partial t}$$

In tale modello, l'unica legge approssimata è quella della circuitazione di  $\mathbf{e}$ .

Tale approssimazione è tanto migliore quanto più lente sono le variazioni dei campi magnetici.

Le regioni del sistema che sono rappresentate dal modello quasi-stazionario magnetico sono, evidentemente, **le regioni capacitive**.



# Circuiti in regime quasi-stazionario

I modelli quasi-stazionari appena visti si possono così sintetizzare:

1. In tutti i punti in cui  $\mathbf{j} \neq 0 \Rightarrow \left| \varepsilon \frac{\partial \mathbf{e}}{\partial t} \right| \ll |\mathbf{j}|$

2. In tutti i punti in cui  $\mathbf{e} \neq 0 \Rightarrow \left| \frac{\partial \mathbf{a}}{\partial t} \right| \ll |\mathbf{e}|$

Consideriamo dapprima le regioni in cui il vettore densità di corrente  $\mathbf{j}$  è non nullo. Si ha:

$$\left| \frac{\partial \mathbf{d}}{\partial t} \right| \ll |\mathbf{j}| \quad \Rightarrow \quad \nabla \cdot \mathbf{j} \cong 0$$

Se la precedente relazione è verificata, si può integrare l'equazione di continuità procedendo in maniera analoga a quanto fatto nel caso stazionario e si ha che vale ancora la legge di Kirchhoff per le correnti:

$$\oint_S \mathbf{j} \cdot \hat{\mathbf{i}}_n dS = \sum_i I_i = 0$$



# Circuiti in regime quasi-stazionario (2)

Consideriamo ora le regioni in cui il vettore  $\mathbf{e}$  è non nullo. In regime quasi stazionario si ha:

$$\left| \frac{\partial \mathbf{a}}{\partial t} \right| \ll |\nabla \Phi| \quad \Rightarrow \quad \mathbf{e} \cong -\nabla \Phi \neq 0$$

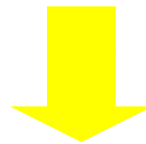
Poiché il campo elettrico è ancora esprimibile mediante il potenziale scalare elettrico, si può ancora procedere come nel caso stazionario e calcolare l'integrale di circuitazione che conferma la validità della legge di Kirchhoff per le tensioni anche nel caso quasi stazionario:

$$\oint_{\ell} \mathbf{e} \cdot \hat{\mathbf{i}}_{\ell} d\ell = \sum_i V_i = 0$$



# Circuiti in regime quasi-stazionario (3)

Conclusione: nel caso quasi stazionario valgono ancora, con ottima approssimazione, le leggi fisiche del caso strettamente stazionario:  $\mathbf{e}$  è ancora conservativo e che il vettore  $\mathbf{j}$  è ancora solenoidale.



Nel caso quasi stazionario ha ancora senso una descrizione circuitale in termini di tensioni e di correnti, e inoltre si può affermare che in regime quasi stazionario valgono ancora (seppure non rigorosamente) le leggi di Kirchoff.



# Approssimazione quasi-stazionaria: conseguenze

- In circuiti in regime quasi-stazionario, è ancora possibile, come nel caso stazionario, definire in modo univoco tensioni e correnti. Si tratta però di una descrizione **approssimata**, a rigore.
- E' possibile dare una caratterizzazione “ai morsetti” dei componenti circuitali, tramite una **relazione costitutiva** (funzione che lega tensione e corrente). Non è quindi importante la struttura spaziale dei componenti, che possono essere pensati come concentrati in un punto!



descrizione circuitale **a parametri concentrati**

- Valgono (seppur in modo approssimato) le leggi di Kirchhoff.
- I singoli componenti “rispondono” in modo **istantaneo** (tramite la propria relazione costitutiva) a variazioni temporali del segnale che alimenta il circuito.

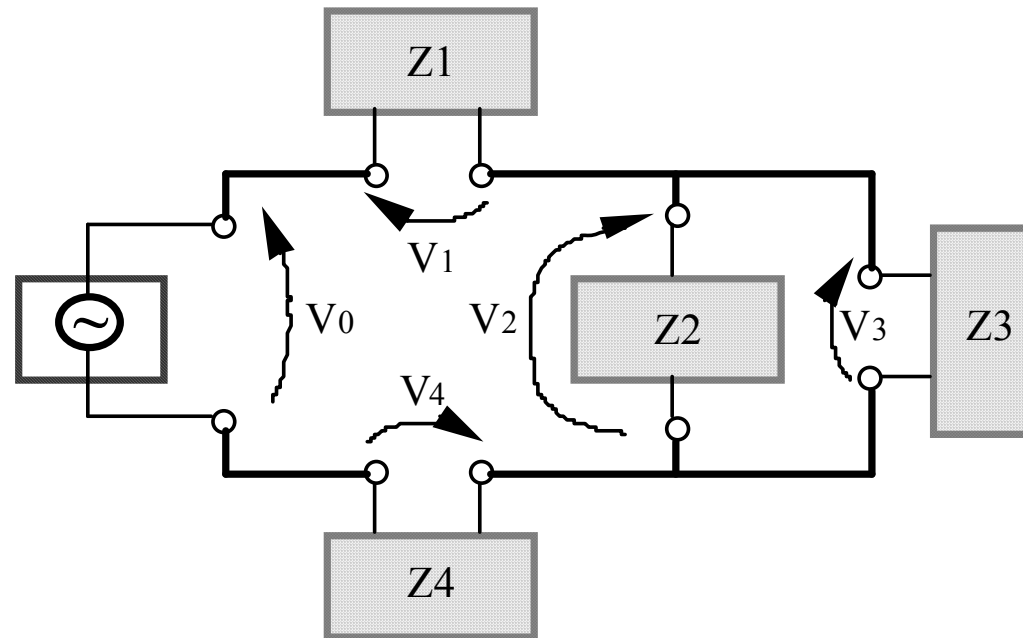


**Successione di stati stazionari!**



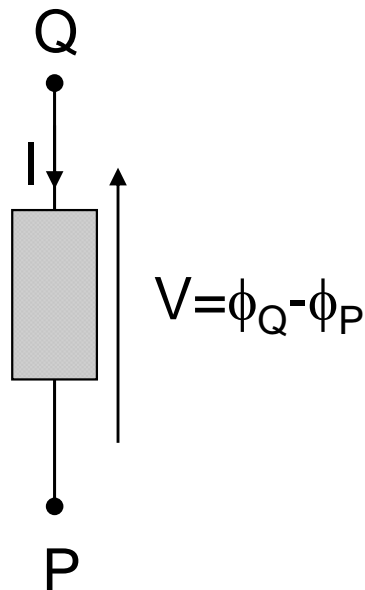
# Circuiti a parametri concentrati

Un circuito a parametri concentrati è un sistema elettromagnetico costituito da un insieme di *elementi circuitali* bipolari o multipolari (resistenze, condensatori, induttanze, generatori ecc.) connessi fra loro mediante *elementi di filo* di materiale perfettamente conduttore. Diversi elementi e diversi tratti di filo si congiungono nei *nodi*. Si individuano percorsi chiusi costituiti da fili ed elementi circuitali detti *maglie* (vedi figura).



# Circuiti a parametri concentrati (2)

I componenti più semplici e largamente utilizzati per la realizzazione di circuiti complessi sono i *bipoli* (o *componenti bipolari*), caratterizzati da 2 soli *punti di contatto* (o *morsetti*) per il collegamento esterno con gli altri componenti.



Come noto, il comportamento individuale di ogni singolo bipolo è descritto formalmente da una relazione fra tensione ai morsetti  $V$  e corrente  $I$  (*relazione costitutiva*):

$$F(V, I) = 0 \quad \text{oppure} \quad V = f(I) \quad \text{oppure} \quad I = g(V)$$

bipoli “stazionari”

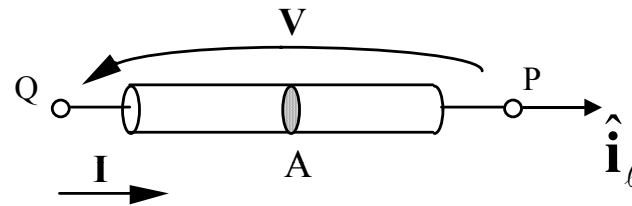
$$F\left(V, I, \frac{dV}{dt}, \frac{dI}{dt}, \int V dt, \int I dt\right) = 0 \quad \left. \vphantom{F}\right\} \text{ bipoli “dinamici”}$$



# Componenti circuitali bipolari: esempi (1)

## 1) Resistore

Si supponga di avere un resistore ideale, formato da un tratto di materiale a conducibilità finita ed area trasversale  $A$  così piccola da potere supporre  $\mathbf{j}_c$  costante su una sezione.



Ricordando che per definizione di potenziale

$$V = \Phi(Q) - \Phi(P) = \int_Q^P \mathbf{e} \cdot d\vec{\ell} = \int_Q^P \frac{\mathbf{j}_c}{\sigma} \cdot \hat{\mathbf{i}}_l d\ell$$

e poiché evidentemente  $\mathbf{j}_c = \frac{I}{A} \hat{\mathbf{i}}_l$ ;  $I$  : corrente totale

allora:

$$V = \int_Q^P \frac{I}{A \cdot \sigma} d\ell = I \cdot \int_Q^P \frac{1}{A \cdot \sigma} d\ell = I \cdot R \quad \text{1a legge di Ohm}$$



# Componenti circuitali bipolari: esempi (2)

dove

$$R \equiv \int_Q^P \frac{1}{A \cdot \sigma} d\ell$$

*resistenza* [ $\Omega$ ]

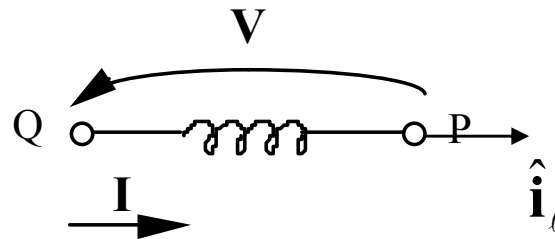
Se  $A$  è costante, e il resistore è omogeneo ( $\sigma$  costante lungo il resistore) si ottiene la cosiddetta *2a legge di Ohm*:

$$R = \frac{\ell}{\sigma \cdot A}$$

$\ell$  lunghezza del resistore,  $A$  area della sezione del resistore,  
 $\sigma$  conducibilità [ $\Omega^{-1} \cdot m^{-1}$ ]

## **Induttore**

Si consideri un induttore ideale realizzato tramite un pezzo di filo ideale (perfettamente conduttore, cioè  $\sigma = \infty$ , ed avente geometria qualsiasi).



# Componenti circuitali bipolari: esempi (3)

All'interno dell'induttore risulta  $\mathbf{e}=0$   $\longrightarrow \nabla\Phi = -\frac{\partial\mathbf{a}}{\partial t}$   
e dunque

$$V = \Phi(Q) - \Phi(P) = \int_P^Q \nabla\Phi \cdot \hat{\mathbf{i}}_\ell \, d\ell = \int_Q^P \frac{\partial\mathbf{a}}{\partial t} \cdot \hat{\mathbf{i}}_\ell \, d\ell = \frac{\partial}{\partial t} \int_Q^P \mathbf{a} \cdot \hat{\mathbf{i}}_\ell \, d\ell = \frac{d}{dt}(LI) = L \frac{dI}{dt}$$

a patto di porre

$$L \equiv \frac{\int_Q^P \mathbf{a} \cdot \hat{\mathbf{i}}_\ell \, d\ell}{I} \quad \text{induttanza [H]}$$

L'ultimo passaggio è giustificato dal fatto che l'induttanza, per la sua definizione, risulta indipendente dal tempo perché l'integrale al numeratore risulta, istante per istante, proporzionale alla corrente che sta al denominatore.

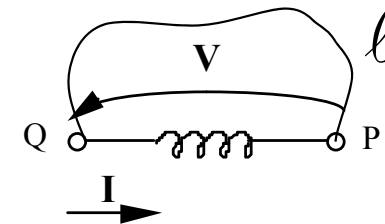


# Componenti circuitali bipolari: esempi (4)

Si osservi che, qualora risulti  $\frac{dI}{dt} \equiv 0$ , si ha  $V \equiv 0$ . Ciò conferma il fatto che, come già detto in precedenza, **nel caso strettamente stazionario l'induttore equivale ad un cortocircuito.**

Si consideri ora una linea che, rimanendo all'esterno dell'induttore, colleghi i morsetti P e Q formando con l'induttore stesso un percorso chiuso. Poiché esternamente all'induttore non c'è campo magnetico, è possibile estendere l'integrale di linea a tutto il percorso chiuso così formato, e dunque

$$L \equiv \frac{\oint \mathbf{a} \cdot \hat{\mathbf{i}}_l \, dl}{I} = \frac{\int_S (\nabla \times \mathbf{a}) \cdot \hat{\mathbf{i}}_n \, dS}{I} = \frac{\int_S \mathbf{b} \cdot \hat{\mathbf{i}}_n \, dS}{I} = \frac{\Psi}{I}$$



dove  $\Psi$  rappresenta **il flusso di induzione magnetica concatenato con l'induttore.** L'induttanza è quindi il rapporto fra il flusso di induzione magnetica e corrente.



# Componenti circuitali bipolari: esempi (5)

## Capacità

Si ha, ovviamente:

$$V = \int_P^Q \nabla\Phi \cdot \hat{\mathbf{i}}_\ell d\ell = - \int_Q^P \nabla\Phi \cdot \hat{\mathbf{i}}_\ell d\ell = -(\Phi(P) - \Phi(Q)) = \Phi(Q) - \Phi(P)$$

E' necessario però ricavare un legame funzionale fra la tensione ai capi del componente e la corrente elettrica che fluisce ai morsetti, come si è fatto per gli altri componenti circuitali.

Al generico istante  $t$ , si avrà una carica  $Q$  su un'armatura e  $-Q$  sull'altra. Si può mostrare che  $Q$  è sempre proporzionale alla differenza di potenziale fra le armature. **Sia  $1/C$  la costante di proporzionalità.** Si pone allora:

$$V = \Phi(Q) - \Phi(P) \triangleq \frac{Q}{C} = \frac{\int I(t) dt}{C} ; \quad C \text{ capacità [Farad]}$$

$C$  è una costante che **dipende unicamente dalle caratteristiche geometriche della regione che è sede dell'accumulo di carica elettrica.**



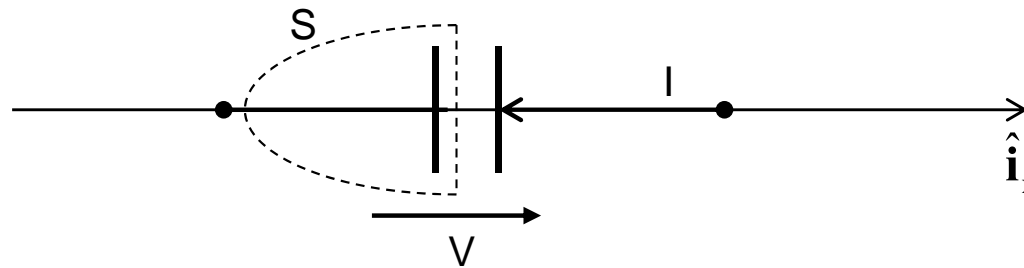
# Componenti circuitali bipolari: esempi (6)

Derivando ambo i membri della formula appena scritta, si ottiene un'espressione alternativa per il legame fra tensione e corrente:

$$I = C \frac{dV}{dt}$$

Si osservi che, qualora risulti  $\frac{dV}{dt} \equiv 0$ , si ha  $I \equiv 0$ . Ciò conferma il fatto che nel caso strettamente stazionario il condensatore equivale ad un circuito aperto.

A titolo di esempio, ricaviamo ora l'espressione della capacità  $C$  in un caso tipico. Si consideri un condensatore ideale formato da due armature piane e parallele, poste a distanza  $d$  ed aventi area  $A$ :



# Componenti circuitali bipolari: esempi (7)

Si consideri allora la superficie chiusa  $S$  rappresentata in figura. Risulta:

$$\nabla \cdot \left( \mathbf{j} + \varepsilon \frac{\partial \mathbf{e}}{\partial t} \right) = 0 \quad \rightarrow \quad 0 = \oint_S \left( \mathbf{j} + \varepsilon \frac{\partial \mathbf{e}}{\partial t} \right) \cdot \hat{\mathbf{i}}_n \, dS = \oint_S \mathbf{j} \cdot \hat{\mathbf{i}}_n \, dS + \oint_S \varepsilon \frac{\partial \mathbf{e}}{\partial t} \cdot \hat{\mathbf{i}}_n \, dS$$

il primo integrale rappresenta ovviamente la corrente di conduzione  $I$  che attraversa il bipolo; il secondo integrale, che rappresenta la corrente di spostamento, può essere calcolato osservando che all'interno del condensatore  $\mathbf{e} = -(V/d)\mathbf{i}_x$  e che sulla porzione di superficie in cui la corrente di spostamento non è nulla vale, per costruzione,  $\hat{\mathbf{i}}_n = \mathbf{i}_x$ ; pertanto:

$$\oint_S \varepsilon \frac{\partial \mathbf{E}}{\partial t} \cdot \hat{\mathbf{i}}_n \, dS = -\frac{\partial}{\partial t} \oint_S \frac{V\varepsilon}{d} \, dS = -\frac{A\varepsilon}{d} \frac{\partial V}{\partial t}$$

e quindi

$$I = \frac{A\varepsilon}{d} \frac{\partial V}{\partial t} \quad \Rightarrow \quad C = \frac{A\varepsilon}{d}$$

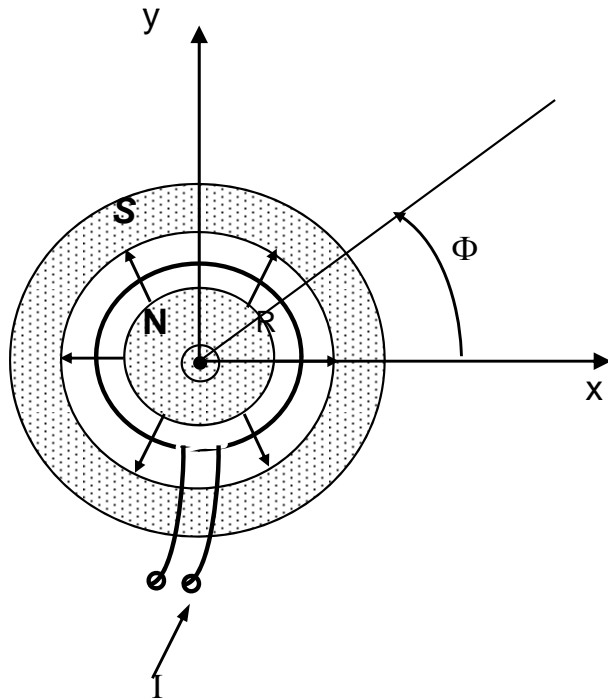


# Esercizio

## Esercizio (dal compito intermedio 26/02/2004)

Si consideri il sistema raffigurato in basso (schema di principio del motore di un altoparlante), costituito da 2 magneti con polarità opposte, e da una spira circolare percorsa da una corrente  $I$  variabile nel tempo.

Si noti che l'asse  $z$  è diretto ortogonalmente al foglio verso chi legge.



Il gap fra i 2 magneti è supposto molto piccolo, in modo che **il campo magnetico radiale** (indicato dalle frecce in figura) si possa **supporre uniforme in modulo**. Si supponga inoltre di alimentare la spira con un generatore ideale di tensione, e una resistenza in serie con tale generatore.



# Esercizio (continua)

a) Sapendo che la massima frequenza di eccitazione  $f_0$  del circuito è pari a 10 KHz, e che la spira ha raggio  $R = 0.05$  m, **dire se sono soddisfatte le condizioni per l'applicazione dell'ipotesi di quasi stazionarietà** (si supponga trascurabile la lunghezza dei fili di interconnessione con l'alimentatore);

b) Fissato un istante di tempo  $t=t_0$ , ( la corrente lungo la spira ha perciò intensità costante  $I(t_0)$  ), **si determini la forza complessiva che il campo magnetico radiale esercita sulla spira, in modulo, direzione e verso**. A tal fine, si adotti un sistema di riferimento cilindrico  $(\hat{i}_\rho, \hat{i}_\phi, \hat{i}_z)$  e si ricordi che per l'elemento infinitesimo di spira si ha  $d\vec{\ell} = dl \hat{i}_\phi$ , con  $dl = R d\Phi$ . Si assuma una corrente  $I(t_0)$  pari a 1 A, e un campo magnetico di modulo  $|\vec{H}| = 106$  A/m (si ricordi che la permeabilità magnetica dell'aria è  $\mu_0 = 4\pi \cdot 10^{-7}$  H/m).

Qualora al punto precedente si sia trovato che vale l'ipotesi di quasi stazionarietà, evidenziarne le conseguenze nel caso si voglia ripetere il calcolo appena svolto per una corrente  $I(t)$  variabile nel tempo.



# Esercizio (continua)

c) Si supponga di poter scegliere fra due diverse coppie generatore-resistenza per alimentare la spira. Il primo generatore impone all'istante  $t=0$  una tensione  $V_1 = 5 \text{ V}$ , il secondo una tensione  $V_2 = 3 \text{ V}$ . Il primo resistore ha conducibilità  $\sigma_1=3.5 \text{ S/m}$ , il secondo ha conducibilità  $\sigma_2=4.5 \text{ S/m}$ . Entrambi i resistori sono supposti di forma cilindrica e a sezione costante  $S$ . **Si determini il rapporto fra le lunghezze dei due resistori affinché la corrente  $I$  che circola nella spira sia la stessa nei due casi.**

